

اثر هم افزایی (۱) بازدارنده ها بر روی سرعت خوردگی فولاد در اسیدشویی

علی شب زنده داری
کارشناس

چنگیز دهقانیان
دانشیار

مرکز پژوهش های علمی تبریز

دانشکده مهندسی شیمی، دانشگاه صنعتی اصفهان

چکیده

در این مطالعه سعی بر این است تا اثر هم افزایی بازدارنده های مختلف بر روی سرعت خوردگی فولاد در محلول های اسید شویی مطالعه گردد. در انتخاب بازدارنده ها سعی شده از بازدارنده هایی استفاده شود که تیه آنها در کشور امکان پذیر باشد. اثر هم افزایی هگزامین و فورفورال با نسبت های مختلف از غلظت در محلول اسیدشویی بر روی سرعت خوردگی فولاد بررسی گردید و مخلوط اپتیمیم از این دو بازدارنده مشخص گردید. برای افزایش بازدارنگی هگزامین و فورفورال ماده تیوسیانید پتابسیم در غلظت های مختلف به مخلوط اپتیمیم هگزامین - فورفورال اضافه شد و غلظت اپتیمیم تیوسیانید پتابسیم تعیین گردید. برای بهبود و تسريع بازدارنده مخلوط فوق، غلظت های مختلفی از کرومات پتابسیم به مخلوط اضافه شد و غلظت مناسب کرومات پتابسیم مشخص گردید. افزودن کرومات پتابسیم بازدارنگی مخلوط را در زمان کوتاهی به $9/98$ درصد رسانید. آزمایش های فوق به وسیله دو روش وزن سنجی و الکترو شیمیابی انجام گرفت.

Synergistic Effect of Inhibitors on Corrosion rate of steel in Acid Pickling

Changiz Dehghanian
Associate Professor

Ali Shabzende Azari
Research Engineer

Chemical Eng. Dept., at the Univ. of Tech., Isfahan

Tabriz Research Organization

Abstract

In this study an effort was made to study the synergistic effect of different inhibitors on corrosion rate of steel in acid pickling solution.

In the selection of these Inhibitors, an effort was made to use the inhibitors which their supply is possible in the country.

The synergistic effect of hexamine and furfural with the different concentration ratios in the acid pickling solution was studied and the optimum mixture of

these two inhibitors was determined. Potassium thiocyanide in different concentrations were added to the optimum mixture of hexamine and furfural in order to raise up the inhibition of the mixture. The optimum concentration of potassium Thiocyanide was also determined.

Different concentrations of potassium chromate were added to the above mixture in order to improve and speed up the inhibition of the mixture. A suitable concentration of potassium chromate was also determined. Addition of potassium chromate to the mixture increased the inhibition of the mixture by 98.9 percent in a short time.

The above experiments were carried out by weight loss and electrochemical techniques.

مقدمه

خود می رسد و سرعت خوردگی به شدت پایین می آید. برای دانستن اینکه دو بازدارنده هم افزای هستند یا خیر؟ باید نوع جذب تشخیص داده شود. دو نوع جذب ممکن می باشد: جذب با هم ^(۱) و جذب به واسطه هم ^(۲) مطالعات ۳ نشان داده است که جذب آتیون های غیر آلی همراه با کاتیون های آمونیم روی سطح آهن در محلول اسیدی از طبیعت جذب با هم برخوردار است. بنابر این هر یک به طور مستقل جذب می شوند. برای تعیین هم افزای بودن دو بازدارنده از پارامتر زیر استفاده می شود:

$$S = \frac{1 - Z_{1+2}}{1 - Z'_{1+2}}$$

که Z_{1+2} بازدارنده سطح به واسطه بازدارنده های ۱ و ۲ می باشد. Z'_{1+2} مقدار بازدارنده مخلوط بازدارنده های ۱ و ۲ حاصل از آزمایش می باشد. اگر $S \geq 1$ باشد دو بازدارنده هم افزای می باشند. هدف از انجام این مطالعه بررسی اثر هم افزایی بازدارنده های هگزامین و فورفورال بر روی سرعت خوردگی فولاد در اسیدشویی و همچنین اثر هم افزایی بازدارنده های هگزامین، فورفورال تیوسیانید پتانسیم در محیط اسیدی می باشد. اثر هم افزایی بازدارنده های هگزامین، فورفورال، تیوسیانید پتانسیم و کرومات پتانسیم نیز بر روی سرعت خوردگی فولاد در اسیدشویی بررسی و مطالعه شده است. آزمایش ها به طریق وزن سنجی و الکتروشیمیایی انجام شده اند. اثر آزمایش های کششی برای تعیین تردی فلز در اثر نفوذ هیدروژن در اثر بازدارنده های فوق انجام شد.

اثر هم افزایی بازدارنده عبارت است از افزایش در راندمان بازدارنده خوردگی در حضور ماده ای دیگر در محیط خورنده، این پدیده از خیلی پیش شناخته شده بود و در عمل از آن بهره می برند. در بعضی صنایع مخلوطی از بازدارنده به کار می رود. اسمیاپیسکا و جسیونک [۱] روی تأثیر یون های هالیدی برخوردگی آهن در اسید سولفوریک کار کرده اند و همچنین تأثیر نرمال - دودسیل آهنین همراه با نرمال کاپریک اسید برخوردگی آهن کار شده است [۲]. آراماگی و هاگیوارا [۳] روی کاتیون های چهار ظرفیتی آمونیم های هالیدی کار کرده اند.

مطالعات فوق را می توان به صورت زیر خلاصه نمود:

کاتیون های آلی سینتیک الکترودها را همیشه عوض نمی کنند. اگر نمک بازهای آلی به محلول یک نرمال اسید کلریدریک افزوده شوند، سرعت هر دو پروسه (تخلیه هیدروژن و یونیزاسیون آهن) را پایین می آورند. در محلول اسید سولفوریک یک نرمال کاتیون های آلی اثر جزئی دارند که علت این امر جذب ضعیف کاتیون ها می باشد. در اسید سولفوریک پتانسیل سطح آهن مثبت می باشد. بنابر این کاتیون ها (یون های هم بار) خوب جذب نمی شوند و اگر یون هالیدی در محلول باشد و ضعیت عوض می شود، با جذب هالیدها بار روی فلز منفی می شود.

کاتیون های آلی موقع جذب پتانسیل بار صفر ^(۱) (ک) را افزایش می دهند. در نتیجه سرعت خوردگی بالاتر می رود. موقعی که آتیون های هالیدی جذب می شوند پتانسیل را کم کرده و حتی می توانند علامت آن را عوض نمایند، با جذب کاتیون ها آلی پتانسیل ۷ به حداقل مقدار

روش آزمایش

جنس و آماده سازی نمونه

ترکیبات شیمیایی الکترودهای آهنی استفاده شده در آزمایش‌ها در جدول ۱ نشان داده شده است. الکترودهای آهنی به صورت استوانه ای شکل تهیه شده‌اند. خصامت و قطر آنها به ترتیب ۲ و ۵/۵ میلی‌متر انتخاب شدند. این نمونه‌ها قبل از هر آزمایش با کاغذ سمباده از شماره ۸۰ الی ۱۰۰۰ پرداخت داده شدند و سپس به وسیله پودر آلومینا براق شدند. صافی سطح در مواردی که سرعت خوردگی پایین باشد، از اهمیت بالایی برخوردار می‌باشد. چون که سطح ظاهری با سطح واقعی تقاضت زیادی دارد.

برای جلوگیری از اکسید شدن سطح نمونه بعد از فرآیند براق نمودن، نمونه‌ها را با الکل آبگیری کردند و با هوای گرم کاملاً خشک نمودند. در صورت وجود چربی در سطح، نمونه‌ها با استون تمیز شدند. برای این عمل نمونه به مدت ده دقیقه در استون قرار داده شد و سپس با هوای گرم خشک گردید. بعد از مراحل فوق نمونه در اسید قرار داده شد تا نمونه تماسی، با هوا و رطوبت پیدا نکند که باعث اکسید شدن نمونه گردد [۴، ۵، ۶، ۷، ۸].

جدول (۱) درصد ترکیبات فلز فولاد به کار رفته در آزمایش‌ها

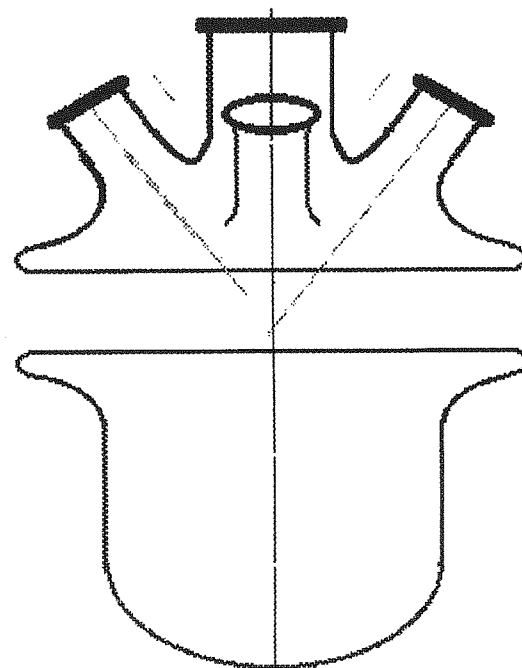
ترکیبات	درصد وزنی
Cu	0.0339
W	0.0048
Ti	0.0021
Sn	0.0112
Co	0.0022
Al	0.0035
P	0.064
Ca	0.0001
Zn	0.0025
C	0.0782
Si	0.2325
S	0.0209
P	0.0162
Mn	0.5248
Ni	0.0218
Cr	0.0459
Mo	0.003
V	0.0015

روش اندازه‌گیری سرعت خوردگی

دو روش در این آزمایش‌ها برای بررسی و مطالعه مؤثری هم افزایی بازدارنده‌ها در محیط اسیدی انتخاب شدند: ۱) روش وزن سنجی، ۲) روش الکتروشیمیایی. روش وزن سنجی ساده‌ترین روش‌های اندازه‌گیری خوردگی فلزات در محیط‌های اسیدی می‌باشد. در اغلب موارد سرعت به دست آمده از این روش بیشتر از سرعت خوردگی به دست آمده از روش‌های الکتروشیمیایی است.

خطایی که در روش وزن سنجی می‌تواند وجود داشته باشد، مربوط به ماندن محصولات واکنش‌های کاتدی، یا جذب بازدارنده روی سطح الکترود می‌باشد که خوشبختانه در محیط‌های اسیدی هیچ لایه‌ای از محصولات واکنش کاتدی را روی سطح باقی نمی‌ماند. با توجه به مطالب فوق روش وزن سنجی به عنوان یکی از روش‌های مطالعه و بررسی بازدارنده فور فولاد در محیط اسیدی انتخاب گردید.

در این روش از شش پیل خوردگی به طور همزمان استفاده شد. برای کنترل دما، پیل‌ها در حمام آب قرار داده شدند. حجم اسید داخل هر پیل ۱۰۰ میلی‌لیتر و سطح الکترود در معرض قرار گرفته، یک سانتی‌متر مربع انتخاب شدند. مزیتی که این تعداد پیل داشت این بود که در شش غلظت متفاوت از بازدارنده در شرایط یکسان از نظر دما به طور همزمان آزمایش می‌شدند. سرعت خوردگی تابعی از دما می‌باشد، بنابراین یکسان بودن شرایط دما باعث بالا رفتن دقت نتایج می‌شد. در دماهای بالای ۶۰ درجه سانتی‌گراد مشکل کنترل دما کاملاً محسوس بود، چون نمونه و نگهدارنده نمونه در دمای محیط بودند و موقعی که در معرض اسید ۷۰ درجه سانتی‌گراد قرار می‌گرفتند نمونه به تدریج گرم می‌شد که در نتیجه دمای آزمایش با دمای اسید برابر نبود. این مستثنیه زمانی که آزمایش‌های زمانی مد نظر بودند، بیشتر خطا ایجاد می‌کرد. برای رفع مشکل نمونه و نگهدارنده آن، قبل از آزمایش به دمای حدود دمای اسید گرم شدند. در روش وزن سنجی زمان آزمایش ۲ ساعت انتخاب گردید، در زمانی که بررسی تغییرات سرعت خوردگی نسبت به زمان مد نظر بود. آزمایش با دوره‌های زمانی دو ساعته ادامه یافت. بعد از اتمام آزمایش نمونه بیرون آورده می‌شد و با آب دو بار تقطیر شده شسته می‌شد و بعد از خشک کردن وزن می‌گردید. روش دوم اندازه‌گیری سرعت خوردگی فولاد از

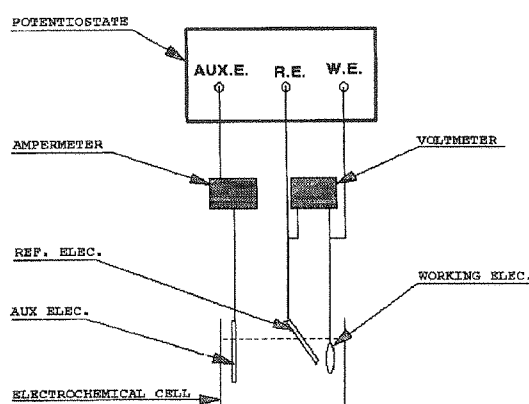


شکل (۲) شماتی از بیل استفاده شده در تست

طریق روشهای الکتروشیمیایی بود. مزیتی که این آزمایش‌ها بر روشن وزن سنجی داشت این بود که زمان اندازه‌گیری نسبتاً کوتاه، دقیق بالا و نشان دادن سرعت خوردنگی به طور پیوسته انجام می‌گرفت. روشهای الکتروشیمیایی انتخاب شده برای تعیین سرعت خوردنگی نمونه شامل:

- ۱ - پلاریزاسیون خطی
- ۲ - روش تافل
- ۳ - روش چهار نقطه

می‌باشد. برای تهیه محلول، ابتدا بازدارنده را داخل پیل ریخته و سپس اسید به آن اضافه می‌گردید، این کار باعث می‌شود که همزن به کار گرفته نشود. در آزمایش‌های الکتروشیمیایی از دستگاه پتانشیومتر و الکترود کمکی از جنس گرافیت، الکترود مرجع کالومل و الکترود نمونه استفاده شدند. شکل ۱ شماتی از نگهدارنده الکترود نمونه را نشان می‌دهد و شکل ۲ پیل استفاده شده در آزمایش‌ها را نشان می‌دهد. شکل ۳ شماتی از آزمایش پتانشیومتریک را نشان می‌دهد.

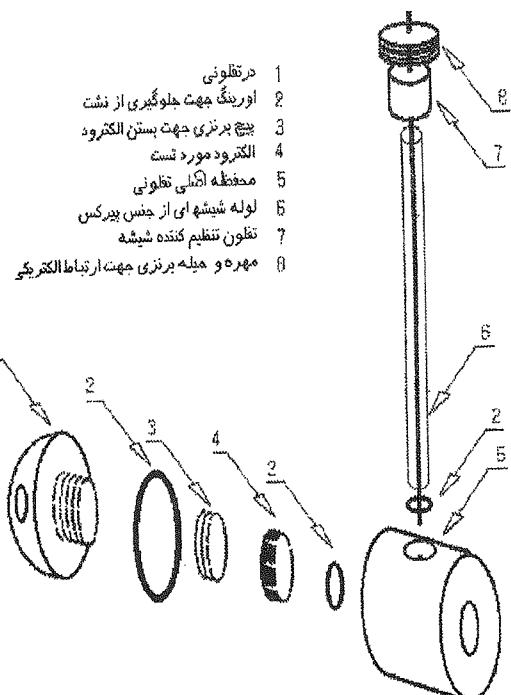


شکل (۳) شماتیکی از تست پتانشیومتر

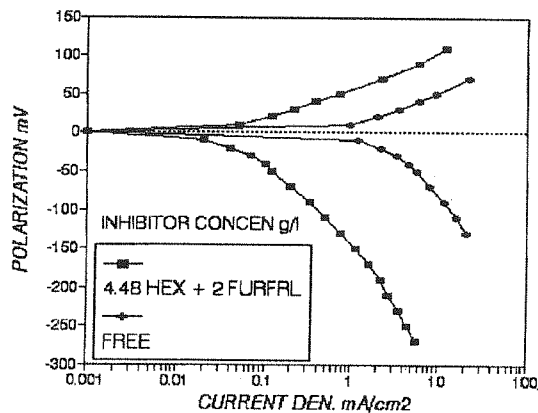
نتایج و بحث درباره آنها

با توجه به پارامترهای کنش جانبی هگزامین ۴ و فورفورال چنین به نظر می‌رسد که فورفورال بتواند مابین مولکول‌های جذب شده هگزامین قرار گرفته و بازدارنده‌ی را بالا ببرد.

برای بررسی خاصیت هم افزایی و به دست آوردن غلظت بهینه این مواد نسبت به یکدیگر، آزمایش‌های



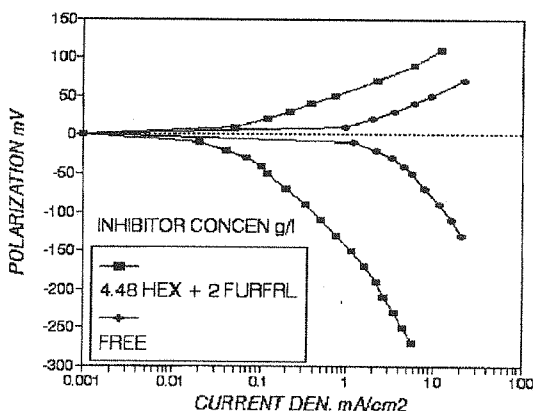
شکل (۱) شماتی از نگهدارنده نمونه



شکل (۵) بازدارندگی فورفورال بر حسب غلظت آن در حضور ۰/۰۳۳ مول بر لیتر هگزامین در اسید کلوریدریک ۵۰/۰

شکل ۶ منحنی های پلاریزاسیون الکترود فولاد در بازدارنده مخلوط ۱- نشان می دهد. جدول ۲ نتایج حاصل از این شکل را نشان می دهد. با توجه به این جدول بازدارندگی این مخلوط قابل ملاحظه می باشد. بازدارندگی محاسبه شده از روش چهار نقطه ۰/۰۵ درصد می باشد، که نزدیک به نتایج حاصل از منحنی پلاریزاسیون شکل ۶ می باشد. اگر هم افزایش این دوماده را نسبت به هم بستجیم، مقدار آن برابر با

$$S = \frac{1 - Z_{1+2}}{1 - Z'_{1+2}} = 1/154 \text{ می باشد} [۲].$$

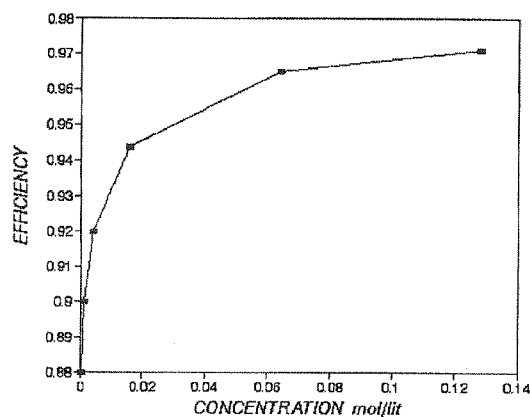


شکل (۶) منحنی های پلاریزاسیون نمونه در حضور بازدارنده (مخلوط ۱-۰/۰۵ مول در اسید کلوریدریک)

مقدار S بزرگتر از ۱ می باشد. پس این دو ماده در مخلوط ۱- هم افزای می باشند و این مخلوط سرعت خوردگی را ۲۶ مرتبه کاهش داده است.

وزن سنجی پلاریزاسیون برای غلظت های مختلف این مواد انجام گرفت. روای آزمایش ها این طور بود که ابتدا غلظت فورفورال را ثابت نگه داشته و غلظت هگزامین تغییر داده شد. بعد از به دست آوردن غلظت بهینه هگزامین، تغییرات بازدارندگی فورفورال در حضور هگزامین با غلظت بهینه شده مورد بررسی قرار گرفت این آزمایش ها سه بار تکرار شد و میانگین دو آزمایش در نتایج گزارش شده است.

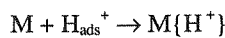
شکل ۴ بازدارندگی هگزامین را بر حسب غلظت آن در حضور ۰/۶۴ مول در لیتر فورفورال نشان می دهد. بازدارندگی با غلظت حدود ۰/۵ گرم در لیتر هگزامین به ۹۶٪ رسیده است و با غلظت حدود ۱۰ گرم در لیتر هگزامین بازدارندگی به ۹۷٪ رسیده است. با توجه به تغییر اندک بازدارندگی با دو برابر شدن غلظت هگزامین، غلظت ۰/۵ گرم در لیتر هگزامین به عنوان غلظت بهینه انتخاب شد شکل ۵ بازدارندگی فورفورال را بر حسب غلظت آن در حضور ۰/۵ گرم در لیتر (۰/۳۲٪ مول در لیتر) هگزامین نشان می دهد. با افزایش غلظت فورفورال، تا غلظت ۱۶٪ مول در لیتر، بازدارندگی افزایش قابل توجهی دارد، ولی از غلظت حدود ۰/۲ مول در لیتر به بعد بازدارندگی افزایش قابل توجهی ندارد. بازدارندگی با غلظت ۰/۲٪ مول در لیتر ۹۶٪ درصد بوده و با غلظت ۰/۸۵٪ مول در لیتر فورفورال به ۹۶٪ درصد رسیده است. بنابر این غلظت بهینه فورفورال در حضور ۰/۳۲٪ مول در لیتر هگزامین، ۰/۲٪ مول در لیتر می باشد. پس از این به بعد به مخلوط ۰/۳۲٪ مول در لیتر هگزامین و ۰/۲٪ مول در لیتر فورفورال مخلوط ۱ نامیده می شود.



شکل (۴) بازدارندگی هگزامین بر حسب غلظت آن در حضور ۰/۰۶۴ مول بر لیتر فورفورال در اسید کلوریدریک ۵۰/۰

جدول (۲) نتایج حاصل از منحنی های پلاریزاسیون فولاد در مخلوط - ۱ در اسید کلریدریک ۵ درصد

مقاومت پلاریزاسیون	پتانسیل خوردگی (mv)	بازدارندگی	جریان خوردگی mA/Cm ²	(mv) کاندی	شیب قابل آندی
۲۵۰	-۴۶۸	۰ / ۹۶۱	۰ / ۰۱۶	۴۸	۲۵



که M در روابط فوق بازدارنده می باشد. در جدول ۴ مقدار پتانسیل خوردگی تغییر چندانی نکرده است بنابر این مکانیزم خوردگی عوض نشده و بازدارندگی با گذشت زمان بیشتر می شود. لازم به ذکر است که فورفورال حین تجزیه می تواند به مقدار کم پلیمریزه شود [۱۲]. بنابر این احتمال این هست که فورفورال روی سطح به تدریج پلیمریزه شده و بازدارندگی را افزایش دهد. حداکثر بازدارندگی به دست آمده $97/5$ درصد می باشد. این بازدارنده ها در زمان 24 ساعت الکترود را $98/2$ درصد حفاظت می کنند. مخلوط - ۱ با نیم گرم تیوسیانید پتانسیم را به نام مخلوط - ۲ نامگذاری می کنیم.

پتی و همکارانش [۹] در مطالعاتی که روی عملکرد پروپارژیل الكل در اسید کلرید ریک داشتند، نشان دادند که ترکیبات کروم می تواند بازدارندگی این بازدارنده را افزایش دهد. بیشترین نقش ترکیبات کرومی شتاب بخشیدن به پروسه بازدارندگی می باشد. به عبارتی افزایش بازدارندگی نسبت به زمان را سریع تر می کند. این درست همان مشکلی است که بازدارنده مخلوط - ۲ دارد. با توجه به جدول ۴ مشاهده می شود که بازدارندگی در نیم ساعت اول $1/82$ درصد و بعد از 10 ساعت به $5/97$ درصد رسیده است. برای تسريع در بازدارندگی مخلوط - ۲ کرومات پتانسیم و دی کرومات پتانسیم انتخاب شدند. دی کرومات پتانسیم تأثیری بر مخلوط - ۲ نداشت، اما کرومات پتانسیم توانست بازدارندگی را تسريع نماید.

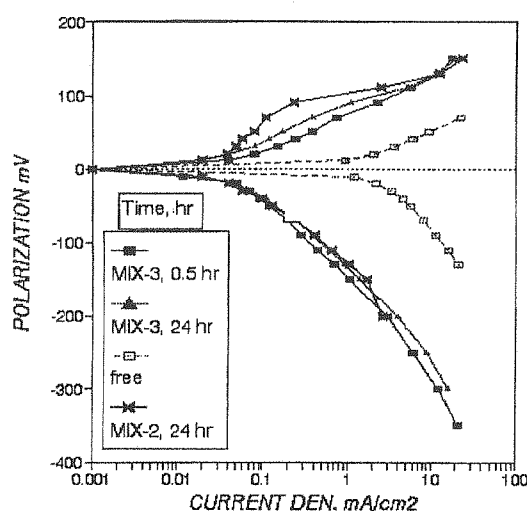
برای بهبود بازدارندگی بیشتر مخلوط - ۱- با توجه به اینکه الکینولها جزء بازدارنده های خوردگی آهن در اسید کلریدریک به حساب می آیند و این الكل در دمای های بالا خوب عمل کرده و تجزیه نمی شوند. تصمیم گرفته شد که از پروپارژیل الكل که از این گروه بوده و بازدارندگی خوبی دارد استفاده شود. این گروه از بازدارنده ها به واسطه الکترون های باند سه گانه جذب ارپیتال نیمه پر α آهن شده و خاصیت بازدارندگی از خود نشان می دهد [۱۰، ۹]. پروپارژیل الكل در دسترس نبود، بنابر این از ماده ای که ساختمانی شبیه به ساختمان الکینولها داشته باشد و تهیه آن ساده تر باشد استفاده شد. مثلاً تیوسیانیدها از این گروه هستند. لذا تأثیر اضافه نمودن تیوسیانید پتانسیم در غلظت های مختلف در مخلوط - ۱ آزمایش شد. جدول پلاریزاسیون نیم ساعت بعد از در معرض قرار گرفتن الکترود شروع شد. حداکثر بازدارندگی در این جدول $82/6$ درصد می باشد. در حالیکه مخلوط - ۱- به تنهایی بازدارندگی برابر با $96/1$ درصد را نشان داده بود. وجود تیوسیانید پتانسیم بازدارندگی مخلوط - ۱ را کاهش داده است. مقدار پارامتر هم افزایی برای $1, 2, 1$ گرم در لیتر تیوسیانید پتانسیم به همراه مخلوط - ۱ تقریباً معادل با $5/0$ گرم در لیتر تیوسیانید می باشد. در نتیجه با توجه به جدول ۳ مقدار نیم گرم در لیتر تیوسیانید پتانسیم مناسب می باشد. شکل ۷ منحنی های پلاریزاسیون الکترود را در زمان های مختلف در مخلوط - ۱- با نیم گرم در لیتر تیوسیانید پتانسیم را نشان می دهد. جدول ۴ نتایج حاصل از این شکل را نشان می دهد. با توجه به اینکه شیب خط تاfeld کاندی معادل است با $b = \frac{-2.3RT}{\alpha nF}$ که خاصیت کاتالیزوری سطح فلز می باشد و تنها پارامتر قابل تغییر می باشد. این نشانگر کند شدن سرعت تخلیه یون هیدروژن می باشد. عامل این امر ممکن است جذب شدن یون هیدروژن روی سطح توسط بازدارنده باشد [۱۱].

جدول (۳) نتایج حاصل از منحنی های پلاریزاسیون فولاد در تیوسیانید پتاسیم همراه با مخلوط - ۱ در اسید کلریدریک ۵ درصد

بازدارندگی	پتانسیل خوردگی (mv)	جریان خوردگی mA/cm ²	(mv) کاتدی	شیب تابع آندی	غلظت g/lit
۰/۷۲۲	-۴۶۸	۰/۶	-۵۹	۲۷	۰/۱
۰/۸۱۲۵	-۴۶۵	۰/۴۲	-۶۵	۳۱	۰/۵
۰/۸۲۱	-۴۷۰	۰/۴	-۶۱	۳۰	۱
۰/۸۲۶	-۴۶۸	۰/۳۹	-۶۸	۳۱	۲

جدول (۴) نتایج حاصل از شکل ۷

بازدارندگی براساس روش چهار نقطه	بازدارندگی اساسن ۷ پلاریزاسیون شکل ۷	پتانسیل خوردگی (mv)	جریان خوردگی mA/cm ²	(mv) کاتدی	شیب تابع آندی	زمان ساعت
۰/۸۳۱	۰/۸۲۱	-۴۶۸	۰/۴	-۶۵	۲۸	۰/۵
۰/۹۳۵	۰/۹۶۸	-۴۵۲	۰/۰۷۴	-۵۲	۲۰	۸
۰/۹۷۴	۰/۹۷۵	-۴۵۴	۰/۰۵۶	-۴۸	۲۲	۱۰



شکل (۸) منحنی های پلاریزاسیون برای مخلوط - ۲ و مخلوط - ۲ همراه با ۰ گرم در لیتر کرومات پتاسیم (مخلوط - ۳) در اسید کلریدریک ۵

شکل ۸ منحنی های پلاریزاسیون فولاد را در حضور مخلوط - ۲ و نیم گرم کرومات پتاسیم بعد از گذشت ۲۴ ساعت نشان می دهد. جدول ۵ نتایج حاصل از این شکل را نشان می دهد. گزارش شده که مواد حاوی گوگرد ممکن است سبب پدیده تردی هیدروژنی برای فولاد شوند [۵]. مخلوط - ۲ و نیم گرم کرومات پتاسیم بنابر این احتمال افزایش تردی الکترود فولاد در زمان های طولانی از غوطه وری وجود دارد. آزمایش های اولیه کشش تردی نشان دادند که در زمان های تا ۴ ساعت غوطه وری فولاد در اسید که مخلوط - ۲ با نیم گرم تیوسیانید پتاسیم به آن اضافه شده بود، تأثیری چندانی بر تردی فولاد در مقایسه با فولاد در اسید بدون بازدارنده نداشت. اما پیشنهاد می شود برای زمان های طولانی از غوطه وری آزمایش هایی انجام گردد تا احتمال افزایش تردی فولاد بررسی گردد.

جدول (۵) نتایج حاصل از منحنی های پلاریزاسیون فولاد در حضور مخلوط - ۲ و نیم گرم کرومات پتابسیم

بازدارندگی روش چهار نقطه	بازدارندگی بر اساس شکل ۸	پتانسیل خوردگی (mv)	جریان خوردگی mA/cm ²	(mv) گاندی	شیب تابع آندی	زمان ساعت	بازدارندگی
۰/۹۷۴	۰/۹۸۲۱	-۴۶۳	۰/۰۴	-۵۲	۲۵	۲۴	مخلوط ۲
۰/۹۷۸	۰/۹۸۸۳	-۴۴۱	۰/۰۲۶	-۳۹	۱۷	۰/۵	مخلوط ۳
۰/۹۸۱	۰/۹۸۹۳	-۴۷۰	۰/۰۲۴	۳۹	۱۵	۲۴	مخلوط ۳

مخلوط ۲ - با نیم گرم در لیتر کرومات پتابسیم در اسید کلریدریک ۵ درصد

نتیجه گیری

کرومات پتابسیم از نفوذ هیدروژن به داخل فولاد در ساعت اول به شدت می کاهد. ولی بعد از ۴ ساعت احتمال نفوذ هیدروژن به داخل فولاد وجود دارد.

زیرنویسها

- 1- Synergistic
- 2-Zero-chorge poteutial
- 3- Cooperative
- 4- Competitive

۱ - هگزامین و فورفورال نسبت به هم، هم افزایی باشند.

۲ - افزودن تیوسیانید پتابسیم به هگزامین و فورفورال سبب کاهش بازدارندگی می شود. بازدارندگی با گذشت زمان به مقدار قابل ملاحظه ای افزایش می یابد.

۳ - افزودن کرومات پتابسیم به هگزامین ، فورفورال و تیوسیانید پتابسیم سبب می شود که بازدارندگی این مواد در زمان خیلی کم به ۹۸/۹ درصد بررسد.

۴ - مخلوط هگزامین، فورفورال، تیوسیانید پتابسیم و

مراجع

- [1] Jesionek, M. and Szklarska-smiaowska " The Inhibition of the dissolution of Iton in Sulpiric Acid by Halide Ions", Corrosion Science, Vol. 23, No. 2, 183-187, 1983.
- [2] Wieczorek, G. and Smialowska, z.s. "Synergistic action of n-dodecylamine with n-capric Acid on the corrosion of steel in sulphuric Acid solution", Corrosion Science, Vol. 12, 877-889, 1972.
- [3] Aramaki, etal "The synergistic Effect of Anions and Ammonium Cation on The Inhibition of Iron Corrosion in Acid Solution", Corrosion Science, Vol. 27, no. 5, 487-497, 1987.
- [4] Banerjee, G. and Malhotra, S. N. "Contribution to Adsorption of Aromatic Amines on Mild steel Surface From HCL solution by Impecdance, UV and Roman Spectroscopy", Corrosion, Vol. 48, No. 1, 10-15, 1992.
- [5] Agrawal, R., etal," The Effect of sulphuric Acid Corrosion of 410 SS by Thiorea", Corrosion Science, vol. 34, No. 1, 37-52, 1990.
- [6] Saber, T. M. H., etal, "Dibutyl Thiroea as corrosion inhibitors for Acid Washing of Multistage Flash Distillation Plant", British Corrosion Journal, Vol. 27, No. 2, 139-143, 1992.

- [7] Khamis, E. "The Effect of Temperature on the Acidic Dissolution of Steel in Presences of Inhibitors", Corrosion, vol. 46, No. 6, 476-484, 1990.
- [8] Chandra Sekara Pillai, K., et al, "The Corrosion of Mild steel in O, 0. 1M, 1M, 3M HCL", Corrosion Science, Vol. 22, No. 1, 13-19, 1982.
- [9] Pati, B. B., et al, "Effect of propargyl Alcohol on Corrosion and Hydrogenation of steel in HCL Solution", corrosion, Vol, 46, No, 5, 354-359, 1990.
- [10] Brewster, R. Q., et al, "Utilized Experiments in organic Chemistry", Van Norstran Reinhold Company, 1970.
- [11] Growcock, F. B. and Frenier, Journal of Electrochemistry Society, vol. 135, 817-825, 1988.
- [12] Othmer, K. Technology of chermical Processes, Vol. 10, 1975.